

افراز رأسی گراف ها به همگراف ها و استار ها

چکیده

یک همگراف، گرافی است که هیچ مسیری را روی چهار رأس بعنوان زیر گراف القائی نداشته باشد. یک همگراف k - افراز از $G = (V, E)$ ، یک افراز رأسی از G به k بخش $V_1, \dots, V_k \subset V$ می باشد بطوریکه گراف القاء شده توسط V_i به ازای $1 \leq i \leq k$ ، یک همگراف است. گیمبل و نستریل [5] پیچیدگی جنبه های همگراف k - افراز را مطالعه کرده و به این سوال رسیدند: آیا یک گراف آزاد-مثلت مسطح وجود دارد که همگراف 2 - قابل افراز نباشد؟ اگر جواب بله است، پیچیدگی تصمیم وابسته به آن چگونه است؟ در این مقاله، ثابت می کنیم چنین مثالی وجود دارد و آن تصمیم گیری، خواه یک گراف آزاد-مثلت مسطح تصدیق کننده همگراف 2 - افراز باشد، پیچیدگی NP -complete را داراست. همچنین نشان خواهیم داد که هر گراف با میانگین ماکزیمم درجه حداکثر $\frac{14}{5}$ یک همگراف 2 - افراز را تصدیق می کند، بطوریکه هر جزء حداکثر روی سه رأس استار است.

کلید واژه ها : همگراف افراز؛ رنگ آمیزی ها؛ NP -completeness؛

۱. مقدمه

در این مقاله تمرکز خود را روی افراز های رأسی قرار می دهیم بطوریکه هر جزء مجموعه جدا شده یک گراف القائی به همراه ساختار داده شده، بدست آورد. همگراف ها یک خانواده مینیمال از گراف هایی هستند که شامل K_1 باشند که K_1 نسبت به عمل مکمل و اجتماع مجزا بسته است. همچنین همگراف ها بعنوان گراف هایی معرفی می شوند که هیچ کپی القائی از P_4 را شامل نیستند، که مسیر روی چهار رأس است ([9] مشاهده کنید). یک استار k - افراز از G ، افرازی رأسی از G به k مجموعه V_1, \dots, V_k است بطوریکه گراف القاء شده توسط هر V_i یک استار جنگل باشد. علاوه بر این، یک استار k - افراز را میخوانیم d - استار k - افراز هرگاه هر مولفه القاء شده از مرتبه حداکثر d باشد. یک 1 - استار k - افراز یک k - رنگ آمیزی است.

با تصمیم بر اینکه یک گراف k - قابل افراز در وضعیتی که $k = 1$ در زمان خطی قابل حل است [4] و همچنین $NP - complete$ است اگر $k \geq 2$ [1]، گیمبل و نستریل روی گراف های مسطح تمرکز کرده و قضیه زیر را اثبات کردند.

قضیه ۱ (گیمبل و نستریل)

(۱) در حالتی که یک گراف مسطح همگراف ۳ - افراز پذیر باشد، $NP - complete$ است.

(۲) در حالتی که یک گراف مسطح با ماکزیمم درجه حداکثر ۶، یک همگراف ۲ - افراز پذیر باشد، $NP - complete$ است.

سوال ۱

(گیمبل و نستریل [5]) . آیا یک گراف آزاد-مثلث مسطح وجود دارد که یک همگراف ۲ - افراز پذیر نباشد؟ اگر جواب بله است، پیچیدگی تصمیم همراه با آن چیست؟

فرض کنید C_Y یک کلاس از گراف هایی تعریف شود که قابل تبدیل به یک ۳ - استار ۲ - افراز باشند. فرض کنید C_n یک کلاس از گراف هایی باشد که در آن افراز رأسی به دو همگراف امکان پذیر نباشد. توجه داشته باشید که $C_Y \cap C_n = \emptyset$. در بخش ۲، یک گراف نا-همگراف ۲ - افراز پذیر را که آزاد-مثلث مسطح است، مثال می زنیم و قضیه زیر را اثبات می کنیم.

قضیه ۲

(۱) برای تعیین اینکه یک گراف مثلث آزاد مسطح در $C_Y \cup C_n$ ، متعلق به C_Y است، پیچیدگی زمانی مسئله $NP-complete$ خواهد بود.

(۲) برای تعیین اینکه یک گراف مسطح بدون داشتن ۴ - دور و با داشتن ماکزیمم درجه ۴ در $C_Y \cup C_n$ ، معلق به C_Y است، پیچیدگی زمانی مسئله $NP-complete$ خواهد بود.

این سوال ۱ را جواب می دهد؛ علاوه براین، فرضیه مطرح شده در قضیه ۱ را بهبود بخشیده که در آن حداکثر درجه ۶، به ۴ تقلیل یافته است، که آن بهترین حالت ممکن است زیرا گراف های با ماکزیمم درجه ۳، رأس افراز به دو زیرگراف از درجه حداکثر ۱ را می پذیرند. بسیاری از کسانی که روی رأس افراز ها مطالعه کرده اند، از ماکزیمم میانگین درجه بعنوان پارامتر استفاده می کنند، بعنوان مثال [2, 3] را نگاه کنید.

مقدار ماکزیمم میانگین درجه یک گراف G به صورت زیر تعریف می‌شود

$$\text{mad}(G) = \max \left\{ \frac{2|E(H)|}{|V(H)|}, H \subseteq G \right\}$$

این پارامتر در [7] توسط Jensen و Toft به اثبات رسیده است که می‌تواند در زمان چندجمله‌ای محاسبه شود. همچنین به خوبی شناخته شده است که هر گراف مسطح G با کمر (girth) حداقل g در معادله $\text{mad}(G) < \frac{2g}{g-2}$ صدق می‌کند.

باتوجه به مطالعات پیشین، در نظر گرفتن مسئله زیر طبیعی به نظر خواهد آمد.

مسئله ۱

با داشتن عدد صحیح $k \geq 1$ ، آیا وجود دارد $f(k)$ بطوریکه هر گراف با شرایط $\text{mad}(G) < f(k)$ یک k - استار ۲ - افرازپذیر باشد؟

گراف‌هایی که ۱ - استار ۲ - افرازپذیر هستند، مطابق با گراف‌های ۲ - رنگپذیر می‌باشند؛ از اینرو، هر گراف G با $\text{mad}(G) < 2$ ، ۱ - استار ۲ - افرازپذیر هستند. بنابر مقاله هاوت و سرنرنت [6] هر گراف با شرط $\text{mad}(G) < \frac{8}{3}$ ۲ - استار ۲ - افرازپذیر است. با مطالعه لیست خطی - قوی ۲ - درختی گراف‌های پراکنده (کم پشت)، برودین و ایوانووا ثابت کردند که هر گراف با $\text{mad}(G) < \frac{14}{5}$ و کمر حداقل ۷، ۳ - استار ۲ - افرازپذیر است [3]. در بخش ۳، نشان خواهیم داد که می‌توان فرض بر روی کمر را رها کرد و قضیه زیر را اثبات کرد.

قضیه ۳

هر گراف G با $\text{mad}(G) < \frac{14}{5}$ یک ۳ - استار ۲ - افرازپذیر است.

برای $k \geq 4$ ، مسئله ۱ می‌ماند. بنابر [3]، هر گراف مسطح از کمر حداقل ۷، ۳ - استار ۲ - بخشپذیر است. بعلاوه، وجود دارد گراف‌های مسطحی با کمر ۴، که همگراف ۲ - افرازپذیر نیستند، و بنابراین k - استار ۲ - افرازپذیر برای هیچ k ای نیستند (قسمت A. ۲ را مشاهده کنید). بنابراین با دو سوال زیر به پایان می‌رسیم.

سوال ۲

(۱) آیا یک عدد صحیح S_6 وجود دارد بطوریکه هر گراف مسطح با کمر حداقل ۶، S_6 - استار ۲ - افرازپذیر باشد؟

(۲) آیا یک عدد صحیح S_5 وجود دارد بطوریکه هر گراف مسطح با کمر حداقل ۵، S_5 - استار ۲ - افرازپذیر باشد؟

۲. NP-COMPLETENESS

این بخش برای اثبات قضیه ۲ اختصاص داده شده است. یادآوری می‌کنیم که یک ۲-رنگ‌آمیزی از هایپرگراف $H = (V, E)$ یک افراز از مجموعه رأس V به دو کلاس رنگ‌آمیزی است بطوریکه هیچ یالی در E تک‌رنگ نیست. مسئله مذکور را به مسئله NP-complete در مورد تصمیم ۲-رنگ‌آمیزی از هایپرگراف‌های ۳-اونیفورم کاهش می‌دهیم.

A. گراف‌های مسطح مثلث آزاد

کاهشی که در نظر داریم بر روی گراف‌های $S_{x,y}$ ، $F_{x,y,z}$ و U_{x_1,x_2,y_1,y_2} بنا شده است که دارای برخی خصوصیات جالب توجه هستند.

(C01) گراف $S_{x,y}$ (شکل ۱) دارای هیچ همگراف ۲-افراز بطوریکه x و y در افراز یکسانی قرار بگیرند، نیست.

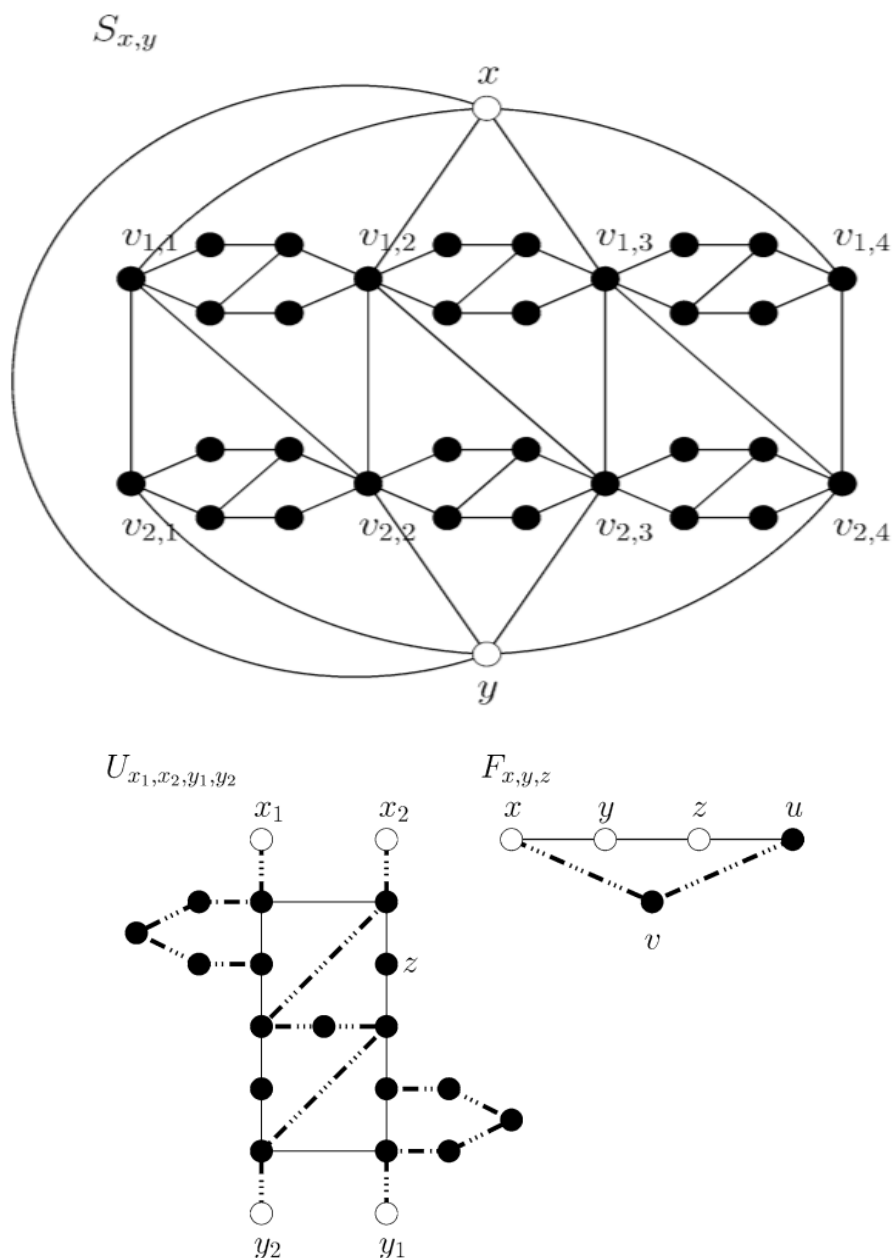
اثبات. با استفاده از برهان خلف فرض می‌کنیم $S_{x,y}$ یک همگراف ۲-افراز $V = A \cup B$ دارد بطوری که x و y در یک افراز A قرار دارند.

(O1) به ازای $1 \leq i \leq 2$ و $1 \leq j \leq 3$ ، $v_{i,j}$ و $v_{i,j+1}$ هردو نمی‌توانند در A باشند. به عبارت دیگر، این امر باعث می‌شود چهار رأس «بین» آن دو در B قرار بگیرد، که P_4 را می‌سازند. بطور مشابه، $v_{1,i}$ ، $v_{1,i+1}$ ، $v_{2,i+1}$ ، $v_{2,i}$ همگی نمیتوانند در یک مجموعه افراز قرار بگیرند، و همچنین برای $v_{2,i}$ ، $v_{2,i+1}$ ، $v_{1,i}$.

(O2) دو رأس غیرمجاور $v_{1,i}$ ، $v_{2,j}$ نمی‌توانند با یکدیگر در A باشند. در غیر اینصورت $v_{1,i} x y v_{2,j}$ یک P_4 در A هستند، که تناقض است.

ابتدا فرض کنید که $v_{1,1}$ در A است. آنگاه بنابر (O1) $v_{1,2}$ در B است و بنابر (O2) $v_{2,3}$ در B است. حال بنابر (O1) $v_{1,3}$ و $v_{2,2}$ باید در A باشند. که با (O2) در تناقض است.

بنابر تقارن، میتوانیم فرض کنیم که $v_{1,1}$ و $v_{2,4}$ در B هستند. اکنون فرض کنید $v_{1,2}$ در A باشد. بنابر (O1)، $v_{1,3}$ در B است. و دوباره بنابر (O1)، $v_{1,4}$ و $v_{2,3}$ در A هستند. که با (O2) در تناقض است.

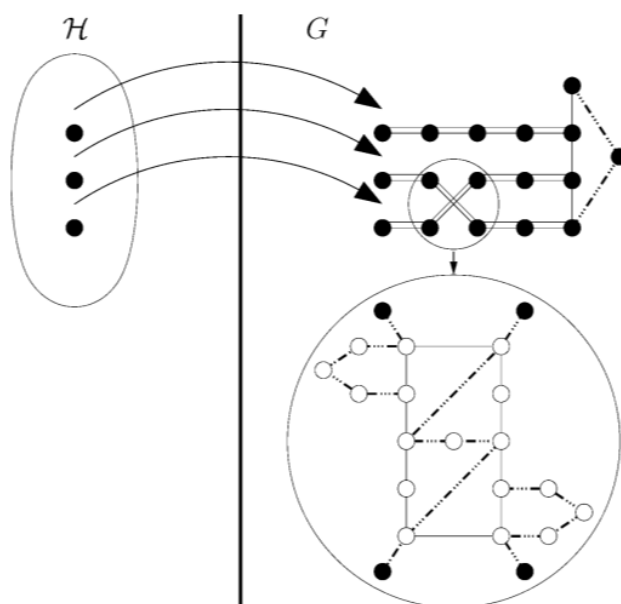


شکل ۱. گراف های $S_{x,y}$, U_{x_1,x_2,y_1,y_2} , $F_{x,y,z}$

بنابراین $v_{1,1}, v_{1,2}, v_{2,3}, v_{2,4}$ را در B داریم. بنابر (01)، $v_{1,3}$ و $v_{2,2}$ در A هستند. که این با (02) در تناقض است. ■

گراف $S_{x,y}$ را می توان بعنوان سویچ دید: اگر x در A باشد، آنگاه y در B است و برعکس. دو رونوشت از $S_{x,y}$ را به نام های S_{x_1,y_1} و S_{x_2,y_2} در نظر می گیریم که در آن $y_1 = x_2$ می تواند بعنوان توسعه دهنده دیده شود: رأس های x_1 و y_2 باید متعلق به مجموعه ای یکسان از افراز باشند. زمانی می توان یک گراف مثلث-آزاد مسطح ساخت که یک همگراف ۲-افراز پذیر را با دریافت یک دور از طول ۵ را نپذیرد و هرکدام از یال هایش نظیر xy را توسط $S_{x,y}$ جایگزاری کند. بدین ترتیب جواب قسمت اول سوال ۲ پاسخ داده شد.

(C02) گراف $F_{x,y,z}$ همگراف ۲-افراز بطوریکه x, y و z در مجموعه ای یکسان در افراز قرار بگیرند، ندارد.



شکل ۲. تبدیل H به G . یال های دوگانه و یال های نقطه چین شده به ترتیب نمایانگر توسعه دهنده ها و سویچ ها هستند. یال های باریک همان یال های معمولی هستند.

اثبات. به وسیله برهان خلف فرض کنید که $F_{x,y,z}$ یک همگراف ۲-افراز $V = A \cup B$ دارد بطوریکه x, y و z در مجموعه یکسانی از افراز چون A قرار بگیرند. دو سویچ کننده بین xv و vu را وادار می کنند که در A باشد؛ که $P_4 = xyzv$ را در A تولید می کنند که این یک تناقض است.

(C03) فرض کنید که $A \cup B$ یک همگراف ۲-افراز از U_{x_1, x_2, y_1, y_2} باشد. آنگاه x_1 و y_1 (بطور مشابه x_2, y_2) باید در مجموعه ای یکسان در افراز قرار بگیرند.

اثبات. از طریق مسیر سویچ کننده های بین x_2 و y_2 ، لزوماً x_2 و y_2 باید در یک مجموعه یکسان از افراز چون A قرار بگیرند. اکنون فرض کنید که x_1 و y_1 در مجموعه های متفاوتی از افراز قرار بگیرند، x_1 در A باشد و y_1 در B قرار بگیرد. انتشار افراز از x_1 و y_1 با استفاده از سویچ کننده ها، دو مسیر P' و P'' از طول ۳ که اتمام آن در رأس z است را بگونه ای می سازد که سه رأس اول P' (مطابق P'') در B هستند (مطابق A). این رویه میرسد به اینکه قرار گرفتن z در A یا B یک P_4 ساخته می شود، که تناقض با فرض مسئله دارد. ■

گراف U_{x_1, x_2, y_1, y_2} می تواند بعنوان غیر متقاطع^۱ دیده شود: اگر x_1 در مجموعه ای از افراز قرار بگیرد، آنگاه y_1 باید در همان مجموعه قرار بگیرد، که برای x_2, y_2 نیز برقرار است.

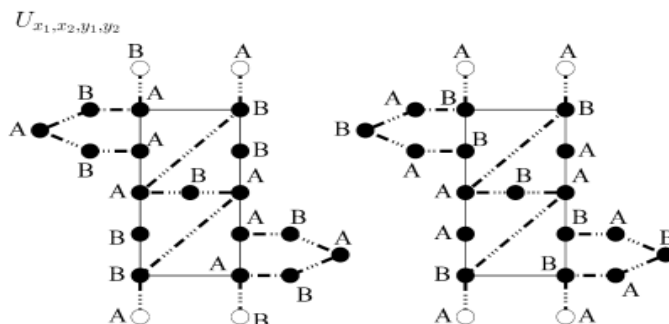
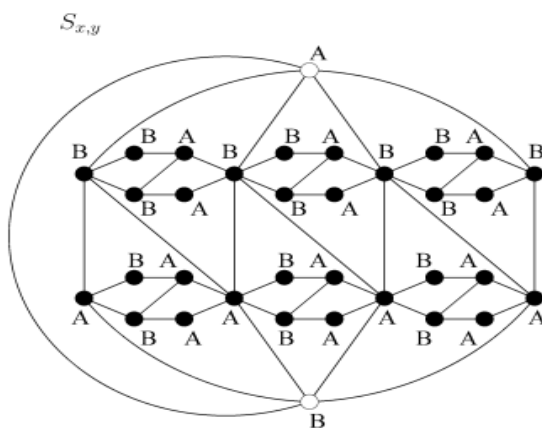
اکنون می‌توانیم ریداکشن^۱ را نشان دهیم. ما یک نمونه H از ۲-رنگ‌آمیزی از ۳-متحدالشکل هایپرگراف را به نمونه G در مسئله خود، تبدیل کردیم. برای هر رأس در H ، رأسی را در G انتساب می‌کنیم. برای هر یال در H ، یک رونوشت^۲ از گراف $F_{x,y,z}$ را انتساب می‌کنیم. اکنون، برای هر وقوع^۳ بین یک رأس v و یک یال e ، رأس منتسب شده به v را به یکی از رأس‌های x, y, z از رونوشت $F_{x,y,z}$ منتسب به e پیوند می‌دهیم. ما همچنین پیوندهایی را با استفاده از توسعه‌دهنده‌ها در سری‌ها می‌سازیم. گراف بدست آمده لزوماً مسطح نیست؛ ما هر تقاطع را با استفاده از یک نامتقاطع انجام می‌دهیم. دینهایت، نمونه G را که مسطح و آزاد-مثلت است، بدست می‌آوریم. شکل ۲ را ببینید.

با استفاده از خصوصیات سوئیچ کننده‌ها، توسعه دهنده‌ها و نامتقاطع‌ها، گراف G یک ۳-استار - ۲-افراز را می‌پذیرد اگر H ۲-رنگپذیر باشد و هیچ همگراف ۲-افراز را نپذیرد.

اگر H ۲-رنگپذیر نباشد، آنگاه نتیجه می‌دهد که در هر رأس افراز $A \cup B$ از G یک رونوشت از $F_{x,y,z}$ وجود دارد که در آن تمام رأس‌های x, y, z در یک مجموعه یکسان از افراز قرار می‌گیرند؛ با توجه به $(C02)$ ، هیچ همگراف ۲-افراز را نمی‌پذیرد.

فرض کنید H ۲-رنگپذیر است و $A \cup B$ یک ۲-رنگ‌آمیزی از H باشد. در آنصورت یک ۳-استار - ۲-افراز از G را بصورت زیر می‌سازیم.

هر رأس از G مطابق با رأسی از H را در A قرار می‌دهیم (متوجهاً B). سپس این افراز را به تمام رأس‌های توسعه دهنده‌ها (متشکل از دو سوئیچ کننده) و نامقاطع‌ها همانطور که در شکل ۳ به نمایش درآمده است، توسعه می‌دهیم. مشاهده کنید که در ۲-افراز از $S_{x,y}$ ، رأس‌های پایانی x و y هیچ همسایه‌ای در مجموعه خود (از افراز) ندارند. این یک ۳-استار - ۲-افراز از G را بدست می‌دهد.



شکل ۳.

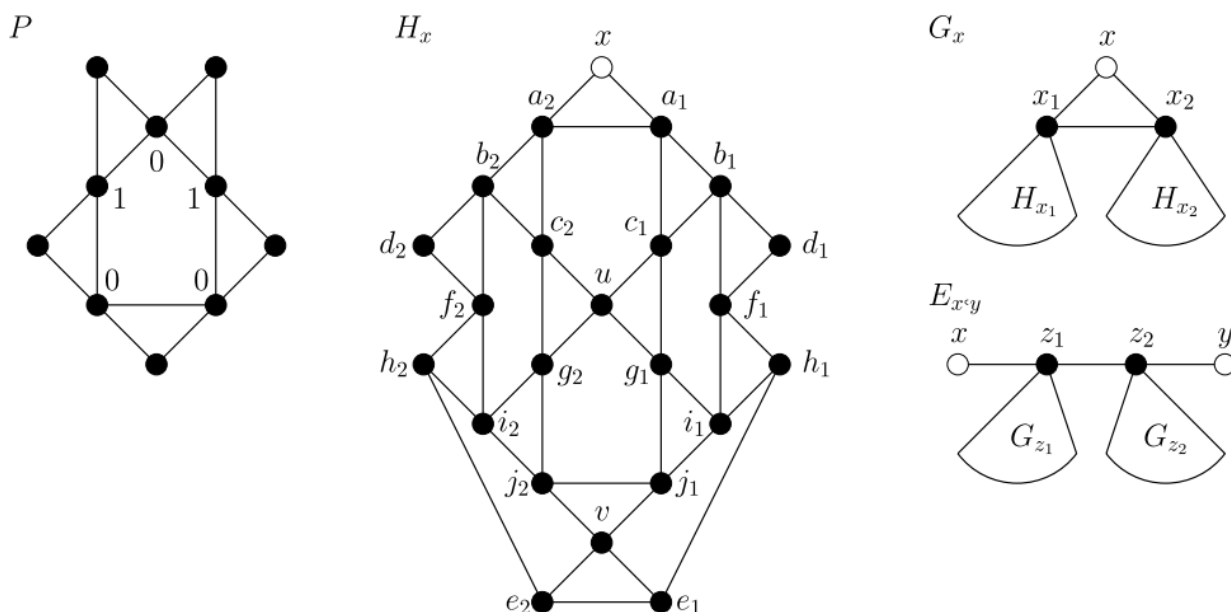
۳-استار - ۲-افراز از $S_{x,y}$

۹ و U_{x_1, x_2, y_1, y_2}

B. گراف های مسطح با ماکزیمم درجه ۴

اثبات قضیه ۳.۲ مشابه اثبات قضیه ۳.۱ است، اما این اثبات بر روی سویچ کننده $E_{x,y}$ بنا شده است.

(C01) فرض کنید P گرافی باشد که در شکل ۴ به نمایش آمده است. فرض کنید x_1, x_2, x_3, x_4, x_5 دور داخلی^۱ به طول ۵ از P باشد. با استفاده از جایگشت، در هر همگراف ۲-افراز $A \cup B$ از P ، لزوماً خواهیم داشت، $x_3, x_5 \in B$ و $x_1, x_2, x_4 \in A$



شکل ۴. گراف های $P, H_x, G_x, E_{x,y}$

(C02) فرض کنید H_x گرافی باشد که در شکل ۴ نمایش داده شده است. فرض کنید $A \cup B$ یک همگراف ۲-افراز از H_x است و $x \in A$ حداقل یکی از a_1, a_2 در A است.

اثبات. از طریق برهان خلف فرض کنید هیچ کدام از a_1 و a_2 در A نباشد. بنابر (C01)، رویه به صورتی خواهد بود که در آن $a_1, a_2, u \in B$ و $c_1, c_2 \in A$. حداقل یکی از b_1, b_2 در A است (در غیر اینصورت b_1, a_1, a_2, b_2 یک P_4 در B خواهد بود.)، در نظر بگیریم که $b_1 \in A$. بنابر (C01)، داریم $i_1 \in A$ و $f_1, g_1 \in B$. همچنین بنابر (C01) $j_2 \in B$ و $j_1, g_2 \in A$ و مشابهاً $f_2 \in A$ و $b_2, i_2 \in B$. اکنون، به و سیله تقارن، فرض کنید v در A است؛ بنابراین e_1, e_2, h_1 در B ، یک $P_4 = e_2 e_1 h_1 f_1$ در B می سازد، یک تناقض با فرض مسئله به وجود می آورد. ■

گراف G_x از مثلث x, x_1, x_2 و دو رونوشت H_{x1} و H_{x2} بدست می آید، $glused$ روی x_1 و x_2 (شکل ۴ را ببینید.)

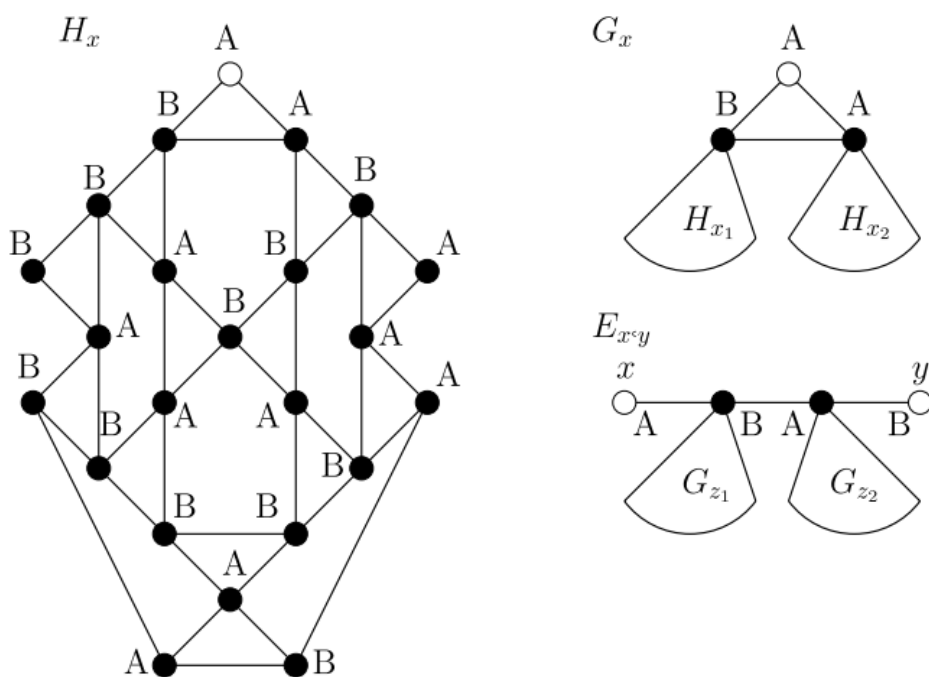
(C03) فرض کنید $A \cup B$ یک همگراف ۲-افراز از G_x باشد. فرض کنید $x \in A$ ، آنگاه رأس x انتهایی از مسیر به طول ۳ در A است.

اثبات. اگر هیچکدام از x_1, x_2 در A نباشد، آنگاه بنابر (C02) یک P_4 در B وجود. آنگاه w.l.o.g. که x_1 در A است. بنابر (C02)، یک همسایه از x_1 در H_{x_1} در A است. این اثبات (C03) را کامل می‌کند. ■

در نهایت، گراف $E_{x,y}$ بدین صورت درست می‌شود: مسیر به طول ۴ x, z_1, z_2, y را گرفته و z_1 (متوجهاً z_2) را با رأس x از یک رونوشت از G_x مشخص می‌کنیم. بنابر (C03)، (C04) بدست می‌آید.

اثبات قضیه ۳.۲ مشابه ۳.۱ است که در آن سوچ کننده $E_{x,y}$ به جای $S_{x,y}$ جایگزاری شده است. ۳- استار ۲-افرازی از $E_{x,y}$ در شکل ۵ نشان داده شده است.

مشاهده می‌شود که مقدار ۴ در قضیه ۳.۲ بهترین امکان است، زیرا هر گراف با ماکزیمم درجه حداکثر ۳ $(1, 1)$ -رنگپذیر است، یعنی رأس افراز به دو زیر مجموعه را می‌پذیرد، هر کدام از آنها یک زیر گراف القائی با ماکزیمم درجه حداکثر ۱ است (و بنابراین ۳- استار ۲-افرازپذیر است). برای مشاهده، فرض کنید ϕ رنگآمیزی از رأس‌های با دو رنگ ۰ و ۱ باشد، در اینصورت $\sigma(\phi) = E_{00}(\phi) + E_{11}(\phi)$ مینیمم است، که در آن E_{ii} نشان دهنده تعداد یال‌هایی است که هر دو با رنگ‌آمیزی رنگ i به پایان می‌رسند. آنگاه ϕ یک $(1, 1)$ -رنگ‌آمیزی است (اگر نه، می‌توانیم دوباره یک رأس را رنگ زده و رنگ‌آمیزی ϕ' را با $\sigma(\phi') < \sigma(\phi)$ بدست می‌آوریم، که متناقض با انتخاب ϕ است.



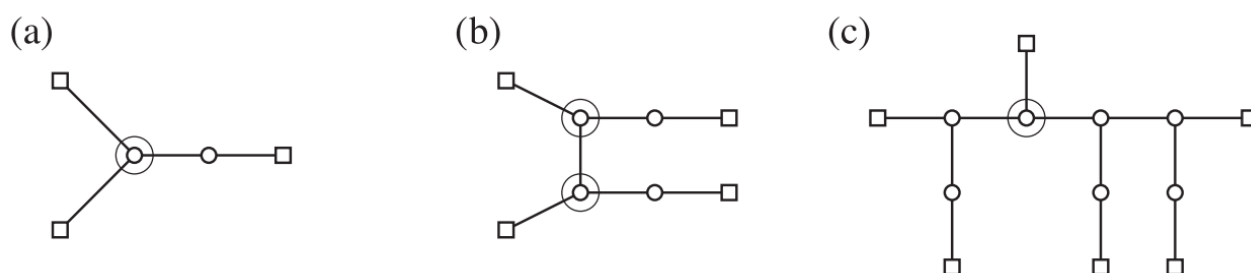
شکل ۵. ۳- استار ۲-افراز از $E_{x,y}$.

۳.۳ - استار ۲ - افراز از گراف ها با $\text{mad} < \frac{14}{5}$

اولین بخش از اثبات، یعنی لم ۷، مشابه لم مطرح شده توسط برودین^۱ و ایوانوا^۲ در [3] است. که برای بخاطر تمامیت کار در اینجا نیز آورده شده است.

به منظور سادگی، ما از علامت گذاری k -vertex (متوجهها k^+ -vertex k^- -vertex) استفاده می‌کنیم و آن را رأس از درجه k می‌خوانیم (متوجهها حداکثر k حداقل k).

یک سبک ۳-رأس، یک ۳-رأس است که مجاور با ۲-رأس می‌باشد. یک کسل ۳-رأس، یک سبک ۳-رأس است که با یک سبک ۳-رأس دیگر مجاور است. یک خسته ۳-رأس، مجاور با یک سبک ۳-رأس و یک کسل ۳-رأس است. توجه داشته باشید که تمام آن‌ها همیشه ۳-رأس هستند و ممکن است که ما از ذکر آن صرف نظر کنیم. (و سرفا بگوییم سبک رأس، کسل رأس، و خسته رأس) مثال‌های از چنین رأس‌هایی در شکل ۶ فراهم آورده شده است.



شکل ۶. (a) سبک، (b) کسل، (c) خسته

لم ۷. اگر یک گراف G در $\text{mad}(G) < \frac{14}{5}$ صدق کند، آنگاه یکی از پیکربندی‌های $C1 - C12$ را دربر می‌گیرد، مثال‌های از آنان در شکل ۷ به نمایش در آمده است.

$C1$. یک ۱-رأس.

$C2$. دو ۲-رأس مجاور.

$C3$. یک ۳-رأس مجاور با دو ۲-رأس.

$C4$. یک سبک ۳-رأس مجاور با دو سبک ۳-رأس.

$C5$. یک ۳-رأس مجاور با سه سبک ۳-رأس.

$C6$. دو ۳-رأس مجاور، هرکدام از آنها مجاور با دو سبک ۳-رأس.

$C7$. یک ۳-رأس مجاور با دو کسل ۳-رأس.

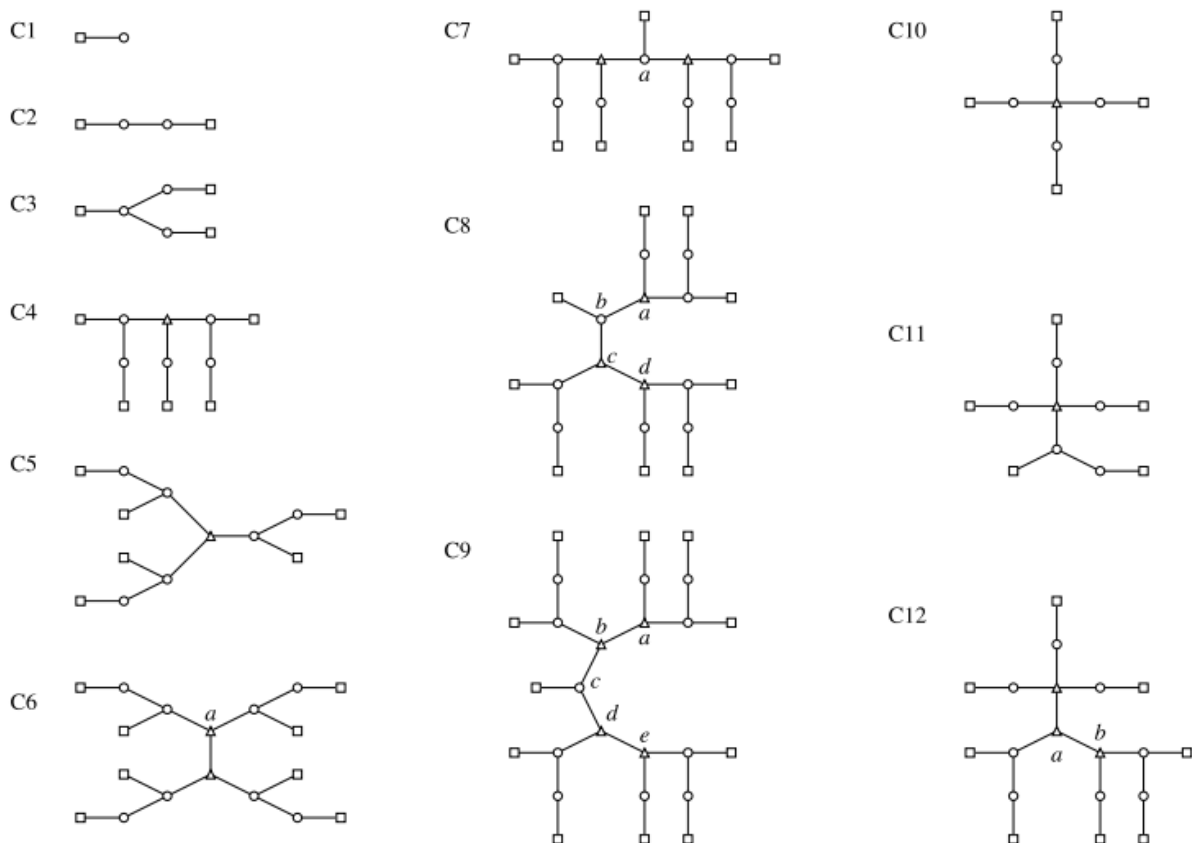
C8. یک ۳- رأس مجاور با یک کسل ۳- رأس و یک خسته ۳- رأس.

C9. یک ۳- رأس مجاور با دو خسته ۳- رأس

C10. یک ۴- رأس مجاور با چهار ۲- رأس.

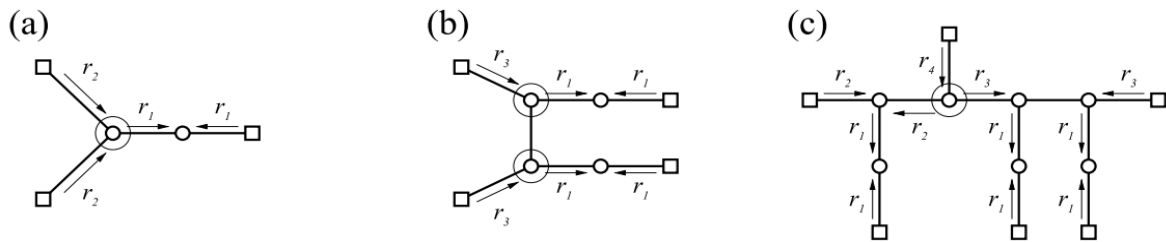
C11. یک ۴- رأس مجاور با سه ۲- رأس و یک سبک ۳- رأس.

C12. یک ۴- رأس مجاور با سه ۲- رأس و یک خسته ۳- رأس.



شکل ۷. کوچکترین درخت هایی که پیکر های $C1$ تا $C12$ را در بر می گیرند.

اثبات. فرض کنید G مثال نقضی برای لم ۷ باشد، یعنی یک گراف با $\frac{14}{5} \leq \text{mad}(G) < \frac{14}{5}$ بطوریکه هیچ یک از پیکربندی های $C1 - C12$ را دربرنگیرد. ابتدا به هر کدام از رأس های v ، وزن $w(v)$ را که برابر است با درجه آن رأس، نسبت می دهیم، یعنی $\forall v \in V(G), w(v) = d(v)$. بنابر فرض، $\sum_{v \in V(G)} w(v) < \frac{14}{5} |V(G)|$. آنگاه دوباره وزن ها را بنابر قوانین $R1 - R4$ که در شکل ۸ به نمایش در آمده است، توزیع می کنیم.



شکل ۸. قوانین $R1 - R4$ اعمال شده بر (a) سبک، (b) کسل و (c) خسته، ۳ - رأس.

$$\left(r_1 = \frac{2}{5}, r_2 = r_4 = \frac{1}{10}, r_3 = \frac{1}{5}\right).$$

$R1$. هر 3^+ - رأس $\frac{2}{5}$ به هر 2^- رأس مجاور می‌دهد.

$R2$. هر 4^+ - رأس یا غیر سبک (غیر کسل) 3^- رأس $\frac{1}{10}$ را به هر رأس سبک غیر کسل مجاور می‌دهد.

$R3$. هر 4^+ - رأس یا غیر سبک (غیر کسل) 3^- رأس $\frac{1}{5}$ را به هر رأس کسل مجاور می‌دهد.

$R4$. هر 4^+ - رأس یا غیر سبک (غیر کسل) غیر خسته 3^- رأس $\frac{1}{10}$ را به هر رأس خسته مجاور می‌دهد.

هنگامی که قوانین اعمال شدند، هر رأس v ، وزن جدید $w^*(v)$ را به خود می‌گیرد. در هنگام پروسه، هیچ وزن جدیدی پدید نمی‌آید و هیچ وزنی ناپدید نمی‌شود؛ از اینرو، $\sum_{v \in V(G)} w(v) = \sum_{v \in V(G)} w^*(v)$ ، اگرچه، ثابت خواهیم کرد که هر رأس در انتهای پروسه وزن جدید $w^*(v)$ ، حداقل $\frac{14}{5}$ را خواهد داشت، که آن به تناقض زیر که اثبات را کامل می‌کند، می‌رسد:

$$\frac{14}{5}|V(G)| > \sum_{v \in V(G)} w(v) = \sum_{v \in V(G)} w^*(v) \geq \frac{14}{5}|V(G)|.$$

اکنون فرض کنید $\forall v \in V(G), w^*(v) \geq \frac{14}{5}$. با حذف پیکربندی $C1$ ، هر رأس v از گراف G دارای درجه حداقل ۲ است. مورد های زیر را مطابق با درجه v در نظر می‌گیریم.

مورد $d(v) = 2$. در ابتدا، $w(v) = 2$. با حذف پیکربندی $C2$ ، v مجاور است با دو 3^+ - رأس، و بنابراین به وسیله قانون $R1$ وزن $\frac{2}{5}$ را از هر کدام از آنها می‌گیرد. به طریق آن به $w^*(v) = 2 + 2 \cdot \frac{2}{5} = \frac{14}{5}$ می‌رسیم.

مورد $d(v) = 3$. در ابتدا، $w(v) = 3$. با حذف $C3$ ، v با حداکثر یک 2^- رأس مجاور است. ابتدا دو مورد زیر را در نظر می‌گیریم که در آن v دقیقاً با یک 2^- رأس مجاور است.

- ابتدا فرض کنید که v کسل باشد (شکل ۸(b)) یعنی، v مجاور با یک $2 =$ رأس و سبک رأس باشد. توجه می‌کنیم که حذف $C4$ تضمین می‌کند که v حداکثر با یک سبک رأس مجاور است. به وسیله R_1 ، $\frac{2}{5}v$ را به رأس مجاور $2 -$ رأس خود می‌دهد، و بنابر قانون R_3 ، $\frac{1}{5}v$ را از همسایه غیر سبک خود دریافت می‌کند. بنابراین داریم $w^*(v) = 3 - \frac{2}{5} + \frac{1}{5} = \frac{14}{5}$.
- اکنون فرض کنید که v سبک باشد اما کسل نباشد (شکل ۸(a)) را ببینید: v با یک $2 -$ رأس و دو $3^+ -$ رأس غیر سبک مجاور است. در آن مورد، به وسیله قانون R_1 ، $\frac{2}{5}v$ را به $2 -$ رأس مجاور خود می‌دهد، و به وسیله قانون R_2 ، $\frac{1}{10}v$ را از هر کدام از $3^+ -$ رأس‌های مجاورش دریافت می‌کند؛ بنابراین $w^*(v) = 3 - \frac{2}{5} + 2\frac{1}{10} = \frac{14}{5}$.
- فرض کنید که v با یک $2 -$ رأس مجاور نباشد. به وسیله حذف $C5$ ، v حداکثر با دو سبک رأس مجاور است. بعلاوه، با حذف $C7$ ، v حداکثر با یک کسل رأس مجاور است. مورد های زیر را در نظر می‌گیریم:
- فرض کنید v خسته باشد (شکل ۸(c)) را ببینید، یعنی v با یک (غیر کسل) سبک رأس و با یک کسل رأس مجاور است. همسایه باقی‌مانده آن یک $3^+ -$ رأس است یعنی با حذف $C5$ سبک نیست (بنابراین کسل نیست) یا با حذف $C6$ خسته نیست. از این‌روی، با اعمال قانون های R_2 و R_3 ، v به ترتیب $\frac{1}{5}$ و $\frac{1}{10}$ را به همسایه های سبک و کسل خود می‌دهد، اما به وسیله R_4 ، $\frac{1}{10}v$ را از سومین همسایه اش دریافت می‌کند. بنابراین داریم: $w^*(v) = 3 - \frac{1}{10} - \frac{1}{5} + \frac{1}{10} = \frac{14}{5}$.
- فرض کنید v با دو (غیر کسل) سبک رأس مجاور باشد. آخرین همسایگی اش یک $3^+ -$ رأس است که می‌تواند یا با حذف $C5$ سبک نباشد، یا با حذف $C6$ خسته نباشد. بنابراین تنها قانون R_2 را دو بار اعمال می‌کنیم و بنابراین داریم: $w^*(v) = 3 - 2\frac{1}{10} = \frac{14}{5}$.
- فرض کنید که v دقیقا با یک سبک رأس مجاور است. اگر این رأس کسل باشد، آنگاه با حذف $C8$ ، v نمی‌تواند با یک رأس خسته مجاور شود، و با اعمال قانون R_3 داریم: $w^*(v) = 3 - \frac{1}{5} = \frac{14}{5}$. در غیر این صورت، با حذف $C9$ ، حداکثر یکی از همسایه های غیر سبک v ، خسته است. این باعث می‌شود که با اعمال R_2 و احتمالا $R4$ داشته باشیم: $w^*(v) \geq 3 - \frac{1}{10} - \frac{1}{10} = \frac{14}{5}$.
- در نهایت، فرض کنید که v با هیچ سبک رأسی مجاور نباشد. با حذف $C9$ ، v حداکثر با یک خسته رأس مجاور است. از این‌روی، احتمالا با اعمال قانون $R4$ ، داریم: $w^*(v) \geq 3 - \frac{1}{10} > \frac{14}{5}$.

مورد $d(v) = 4$ ابتداً، $w(v) = 4$ با حذف $C10$ ، v با حداکثر سه $2 -$ رأس مجاور است. اگر v با سه $2 -$ رأس مجاور باشد، آنگاه آخرین هم سایه اش نمی تواند سبک باشد (به وسیله حذف $C11$) یا خسته باشد (به وسیله حذف $C12$)؛ از اینرو، با اعمال قانون $R1$ ، داریم $w^*(v) = 4 - 3\frac{2}{5} = \frac{14}{5}$. درغیراینصورت، قانون $R1$ را حداکثر دو بار اعمال می کنیم و احتمالاً دو قانون از $R2$ به $R4$ اعمال می کنیم و خواهیم داشت:

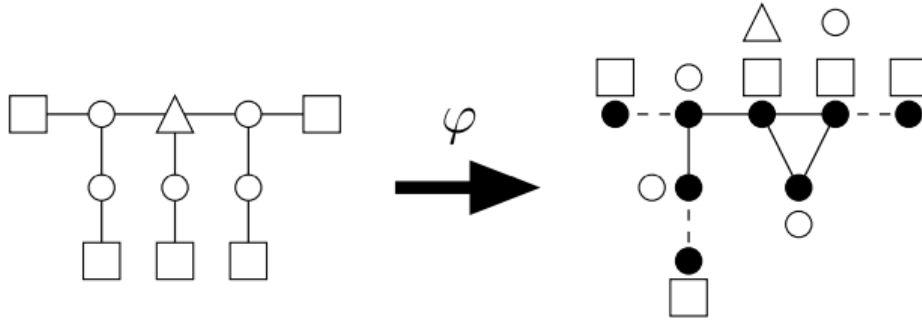
$$w^*(v) \geq 4 - 2\frac{2}{5} - 2\frac{1}{5} = \frac{14}{5}$$

مورد $d(v) = k \geq 5$ با اعمال قانون های $R1 - R4$ ، v می تواند حداکثر k بار $\frac{2}{5}$ بدهد، و خواهیم داشت

$$w^*(v) \geq k - k\frac{2}{5} = \frac{3k}{5} \geq 3$$

در تمام مورد ها، $w^*(v) \geq \frac{14}{5}$ را همانطور که ادعا شد، در یافت می کنیم و در نتیجه حکم اثبات می شود. ■

قبل از اثبات قضیه ۵، ما برخی از ویژگی های مفید گراف ها حاوی یکی از پیکربندی های $C1-C12$ را نشان می دهیم. توجه داشته باشید که پیکربندی های $C1-C12$ ممکن است در یک گراف G با جاسازی متفاوتی نسبت به مواردی که در شکل ۷ نشان داده شده اند، که شامل چرخه های کوتاه است، وجود داشته باشد. در [۳]، نویسندگان تعداد احتمالی چنین جاسازی هایی را با در نظر گرفتن تنها گراف هایی با دور حداقل ۷ کاهش دادند. در اینجا، ما از یک تکنیک متفاوت برای در نظر گرفتن هرگونه تعبیه احتمالی یک پیکربندی بدون برشمردن آنها استفاده می کنیم. اصل این تکنیک این است که تأیید کنیم مهم نیست که چگونه یک پیکربندی تعبیه شده است، ما همچنان آزادی عمل کافی برای گسترش بخشی از بقیه گراف به پیکربندی داریم. این آزادی توسط چند رئوس در پیکربندی انجام می شود، یعنی رئوس مجموعه که بعداً با V_Δ نشان داده شد. مشاهده ۸ تا گزاره ۱۲ ویژگی های ساختاری ساده پیکربندی ها و جاسازی های آنها هستند. با نگاه کردن به پیکربندی های $C1-C12$ ، می توان به راحتی خود را متقاعد کرد. سپس یک فرآیند ساده را در دو مرحله توصیف می کنیم تا افزاری از بقیه گراف را به پیکربندی گسترش دهیم. در بیشتر مواقع، مرحله اول (مرحله ۱ و ۲) تقریباً برای گسترش پارتیشن کافی است. در برخی موارد که رئوس V دارای هم سایگان مشترک زیادی هستند، رئوس کمتری رنگی می شوند و آزادی عمل بیشتر، توصیف را سخت تر می کند، اما هیچ مشکلی در گسترش افزاز وجود ندارد. برای هر $1 \leq i \leq 12$ ، فرض کنید Ti کوچکترین درخت حاوی پیکربندی Ci باشد. یعنی درختانی که در شکل ۷ نشان داده شده اند. بدین صورت تعریف می کنیم: با داشتن درخت Ti ، رئوس آن را به سه مجموعه V_Δ ، V_\square و V_\circ تقسیم می کنیم. مجموعه V_\square شامل تمام رئوس هایی است که درجه آنها توسط پیکربندی ثابت^۱ نشده است. به جز Ti ، این مربوط به همه برگها است. مجموعه V_\circ شامل تمام رئوس مجاور با یک رأس در V_\square است. در نهایت، V_Δ شامل رئوس باقی مانده، است که با هیچ رئوسی از V_\square مجاور نیست. این افزاز در شکل ۷ با شکل رئوس نمایش داده شده است. با ساختن V_Δ ، V_\square و ویژگی زیر را روی هر درخت در $T1 - T12$ مشاهده می کنیم.



شکل ۹. یک مثال از جاسازی متفاوت از T_4 .

مشاهده ۸. هر رأسی در V_\circ دقیقاً یک همسایه در V_\square دارد و هر راسی در V_Δ هیچ همسایه ای در V_\square ندارد.

$$\forall v \in V_\circ, \quad |N(v) \cap V_\square| = 1$$

$$\forall v \in V_\Delta, \quad |N(v) \cap V_\square| = 0$$

فرض کنید G یک گراف حاوی یک رخداد از پیکربندی Ci باشد. ما هومومورفیسم را به شکل $\phi: V(Ti) \rightarrow V(G)$ تعریف می‌کنیم که در آن هر راس Ti را به رأسی از G که نقش یکسانی در این رخداد پیکربندی Ci دارد، نگاشت می‌کند. برخی از رئوس G ممکن است تصویر بیش از یک راس Ti باشد. به عنوان مثال، شکل ۹ را ببینید. با سوء استفاده از نماد، به سادگی مجموعه $\{u \in Ti | \phi(u) = v\}$ را با $\phi^{-1}(v)$ نشان می‌دهیم. توجه داشته باشید برای هر یال uv در $E(Ti)$ ، $\phi(u)\phi(v)$ یک یال در G است. همچنین برای $\phi(Ti)$ برای اینکه یک رخداد از پیکربندی Ci باشد، تحدید ϕ از $N[u]$ به $N[\phi(u)]$ باید برای هر $u \in V_\circ \cup V_\Delta$ ، دو طرفه باشد. ما بعداً به این ویژگی اشاره می‌کنیم و می‌گوییم که ϕ به صورت محلی یک به یک است.

در G ، توسط E_\circ مجموعه از یال‌ها را که به صورت زیر تعریف می‌شوند، نشان می‌دهیم.

$$E_\circ = \{e \in E(G) | \phi^{-1}(e) \subseteq E(V_\circ, V_\square)\}.$$

چنین یال‌هایی در شکل ۹ نقطه چین شده‌اند.

گزاره ۹. اگر $v \in V(G)$ یک رأس از $\phi(V_\circ)$ باشد، آنگاه حداکثر یک یال وقوع یافته به v ، در E_\circ است.

اثبات. فرض کنید $v = \phi(v')$ ، $v' \in V_\circ$. فرض کنید $u \in N(v)$ وجود دارد بطوریکه $uv \in E_\circ$. فرض کنید $w \in N(v) \setminus \{u\}$. به واسطه خاصیت محلی یک به یک ϕ ، $u' \in \phi^{-1}(u) \cap N_{Ti}(v')$ و $w' \in \phi^{-1}(w) \cap N_{Ti}(v')$ منحصر به فردی وجود دارد بطوریکه $u' \neq w'$. بنابراین مشاهده ۸، $w' \notin V_\square$. بنابراین $vw \notin E_\circ$. ■

گزاره ۱۰. فرض کنید پیکربندی $C2 \neq C$ در G ظاهر شود. فرض کنید uv یک یال از G به گونه ای باشد که $u, v \in \phi(V_0) \setminus \phi(V_\Delta)$. اگر $uv \notin E$ ، آنگاه $d(u) = 2$ و $d(v) = 3$ ، یا برعکس.

اثبات. فرض کنید uv در شرایط گزاره صدق کند. از آنجایی که $uv \notin E$ ، رأس های مجاور u' و v' در C وجود دارند بطوریکه، $\phi(u') = u$ ، $\phi(v') = v$ و هیچیک از u' و v' در V نباشند. بنابر فرض، u' و v' حتی در V_Δ نیستند، بنابراین باید هر دو در V_0 باشند. آنگاه به سادگی می توان در تمام پیکربندی ها بررسی کرد که هر یال بین دو رأس در V_0 دارای انتها درجه ۲ و دیگری ۳ است. ■

گزاره ۱۱. روی $C1$ تا $C12$ ، هومومورفیسم ϕ محدود شده روی $V_\Delta \rightarrow \phi(V_\Delta)$ ، یک به یک است.

اثبات. برای رسیدن به اثبات کافی است که یک به یک بودن تابع را بررسی کنیم. برای پیکربندی های $C1 - C5$ ، $C10$ و $C11$ ، از آنجایی که $|V_\Delta| \leq 1$ ، یک به یک بودن تابع به روشنی برقرار است. برای پیکربندی های $C6$ ، $C7$ و $C12$ ، این گزاره نتیجه ای از یک به یک بودن ϕ روی $N[a]$ است.

اکنون فرض را روی $C8$ بررسی می کنیم. به وسیله خاصیت یک به یک بودن ϕ به ترتیب در $N[b]$ و $N[c]$ ، میدانیم که $\phi(a) \neq \phi(c)$ و $\phi(c) \neq \phi(d)$ ، بعلاوه، اگر $\phi(a) = \phi(d)$ ، پس لزوماً، $\phi(b) = \phi(c)$ ، زیرا سایر همسایگان a و d یا ۲ - رأس هستند یا سبک رأس. اما این با یک به یک بودن محلی ϕ در تضاد است. بنابراین، $\phi(a) = \phi(d)$ و ϕ بروی V_Δ یک به یک است.

در نهایت، بطور مشابه با $C9$ سروکار داریم. به وسیله یک به یک بودن محلی ϕ ، می دانیم که $\phi(a) \neq \phi(b)$ ، $\phi(b) \neq \phi(d)$ و $\phi(d) \neq \phi(e)$ ، بعلاوه، از آنجایی که a و e رأس های سبک هستند، اما b و d نیستند، داریم $\phi(a) \neq \phi(d)$ و $\phi(b) \neq \phi(e)$. نهایتاً اگر $\phi(a) \neq \phi(e)$ ، آنگاه $\phi(b) = \phi(d)$ ، b و d تنها رئوسی می شوند که نه سبک هستند و نه همسایگان از درجه ۲ رئوس a و e ، و این با یک به یک بودن ϕ روی $N[c]$ در تناقض است. بنابراین، ϕ روی V_Δ در $C9$ نیز یک به یک است، و گزاره اثبات می شود. ■

گزاره ۱۲. فرض کنید Ti پیکربندی باشد که در G اتفاق می افتد. هیچ رئوسی در $\phi(Ti)$ امکان ندارد که با سه یا تعداد بیشتری از رئوس در $\phi(V_\Delta)$ مجاور باشد.

اثبات. در تنها پیکربندی هایی که این اتفاق می افتد، $C8$ ، $C9$ و $C12$ است. در $C8$ ، اگر $\phi(d)$ یک همسایه از $\phi(b)$ باشد، تنها رأس $\phi(b)$ امکان دارد که سه همسایه در $\phi(V_\Delta)$ داشته باشد. اما همسایه های d متفاوت از c ، ۲ - رأس یا سبک رأس هستند درحالی که b نیست. در $C9$ ، تنها $\phi(c)$ می تواند سه همسایه در $\phi(V_\Delta)$ داشته باشد، اما به دلیل مشابه $\phi(c)$ نمی تواند یک همسایه از $\phi(a)$ یا $\phi(e)$ باشد. در نهایت، در $C12$ ، برای داشتن سه همسایه در $\phi(V_\Delta)$ ، یک رأس باید با ۴ - رأس مجاور باشد، و با $\phi(a)$ ، اما رئوس مجاور با ۴ - رأس مذکور که متفاوت از a هستند، از درجه ۲ می باشند. از اینرو، هیچ رأسی امکان ندارد با سه رأس در $\phi(V_\Delta)$ مجاور باشد.

اکنون قضیه ۵ را دوباره خوانده و اثبات می‌کنیم.

قضیه ۵. هر گراف G با $\text{mad}(G) < \frac{14}{5}$ یک ۳ – استار ۲ – بخشپذیر است.

اثبات. قضیه ۵ را به وسیله تناقض اثبات می‌کنیم. فرض کنید که فرض درست نباشد و G یک مثال نقض با کمترین مرتبه باشد. بنابر لم ۷، G حاوی یکی از پیکربندی های $C1 - C12$ است، فرض کنید C یک پیکربندی از کوچکترین برچسبی^۱ باشد که در G ظاهر می‌شود. فرض کنید v یک افراز معتبر از $G[V \setminus \phi(V_0 \cup V_\Delta)]$ باشد. به این افراز به عنوان یک رنگامیزی از رأس های $[0, 1]$ $v: V \rightarrow [0, 1]$ نگاه می‌کنیم، که در آن یک بخش به صورت $\{v \in V | v(v) = 0\}$ تعریف می‌شود و دیگری به صورت $\{v \in V | v(v) = 1\}$.

v را از طریق زیر به $G[V \setminus \phi(V_\Delta)]$ توسعه می‌دهیم:

گام ۱. هر یال $uv \in E_0$ را بدرستی رنگ می‌زنیم، یعنی $v(u) \neq v(v)$ را انتخاب می‌کنیم. میدانیم که این کار را می‌توان به وسیله گزاره ۹ انجام داد.

گام ۲. برای هر رأس باقی مانده v در $V \setminus \phi(V_\Delta)$ ، با حداقل یک همسایه رنگ شده، برای $v(v)$ حداقل رنگی را انتخاب می‌کنیم که در $N(v)$ نشان داده شود. قدم ۲ را تا جایی که امکان داشته باشد تکرار می‌کنیم. اگر در مواردی، رأس هایی در $V \setminus \phi(V_\Delta)$ باقی مانده باشند که هیچ همسایه رنگ رنگامیزی شده ای نداشته باشند، یکی را برمی‌داریم و به صورت تصادفی رنگ می‌زنیم و قدم ۲ را تکرار می‌کنیم.

توجه داشته باشید که آنهایی که در حین گام ۲ رنگ شده اند، دقیقاً تمام رأس های $v \in \phi(V_0) \setminus \phi(V_\Delta)$ هستند که با هیچ یالی از E_0 وقوع نداشته اند. مشاهده زیر را نیز خواهیم داشت.

مشاهده ۱۳. هر رأس رنگ شده در حین گام ۱ یا ۲ هیچ همسایه رنگامیزی شده ندارد یا حداقل دارای یک همسایه از رنگامیزی مخالف است.

گزاره ۱۴. پس از اعمال گام های ۱ و ۲، G یا شامل Ci برای $i \in \{1, 2, 3\}$ است یا v بگونه ای است که $G[\{v \in \phi(V_0) | v(v) = i\}]$ حاوی هیچ مسیری روی سه رأس برای $i = 0, 1$ نباشد، یعنی هیچ تک‌رنگ^۱ P_3 وجود نداشته باشد.

اثبات. فرض کنید G هیچ کدام از $C1, C2$ یا $C3$ را شامل نشود، با این حال $u, v, w \in \phi(V_0)$ یک P_3 با یال های uv, vw تشکیل می دهد بطوریکه $v(u) = v(v) = v(w)$. بوضوح، هیچ یک از uv و vw در E_0 نیستند، یا دو انتهای یال، دارای برچسب های متفاوتی هستند. بنابراین می توانیم گزاره ۱۰ را برای هر دو یال اعمال کنیم، و نتیجه بگیریم که یا v از درجه ۲ است، یا هر دو u و w از درجه ۲ هستند و v از درجه ۳ است. مورد آخر مورد بعدی مربوط به حضور پیکربندی $C3$ در G است. اکنون فرض کنید v درجه ۲ است، در حالی که u و w درجه حداقل ۳ هستند تا از حضور $C1$ یا $C2$ جلوگیری شود. از آنجایی که v در E_0 با هیچ یالی برخورد ندارد، در گام ۲ یک رنگ به v اختصاص داده می شود. پس باید حداقل یک همسایه با رنگ متفاوت داشته باشد (u یا v) که این تناقض است. ■

گزاره ۱۵. پس از اعمال گام های ۱ و ۲، v یک ۳ - استار ۲ - افراز مناسب از $G[V \setminus \phi(V_\Delta)]$ است.

اثبات. به خلف فرض کنید که یک مولفه از مرتبه حداقل ۴ یا یک مثلث در زیر گراف القایی G توسط یک کلاس رنگامیزی وجود دارد. از آنجایی که v یک افراز معتبر از $G[v \setminus \phi(V_0 \cup V_\Delta)]$ است، این مولفه فقط رأس های $V \setminus \phi(V_0 \cup V_\Delta)$ را شامل نیست. توجه داشته باشید هر یالی که از رأسی از $\phi(V_0 \cup V_\Delta)$ به رأس از $V \setminus \phi(V_0 \cup V_\Delta)$ می پیوندد لزوماً در E_0 است، بنابراین به درستی رنگ شده است. از این روی مولفه باید در $\phi(V_0 \cup V_\Delta)$ باشد.

پیکربندی های $C1$ و $C2$ بگونه ای هستند که $|\phi(V_0 \cup V_\Delta)| \leq 2$ ، پس هیچ مولفه ای از اندازه حداقل ۳ نمی تواند در $\phi(V_0 \cup V_\Delta)$ باشد. در $C3$ ، $|V_0 \cup V_\Delta| = 3$ ، بنابراین می توانیم تنها یک مثلث پیدا کنیم. گرچه، اگر رأس از درجه ۳ با دو همسایه اش از درجه ۲ یک مثلث تشکیل دهد، آنگاه یالی که به رأس های از درجه ۲ می پیوندند در E_0 است، و به درستی رنگامیزی شده است، یک تناقض. در نهایت، اگر هیچ یک از $C1$ و $C2$ و $C3$ در G ظاهر نشوند و اما پیکربندی دیگری ظاهر شود، آنگاه نتیجه توسط گزاره ۱۴ برقرار است. ■

از گزاره قبلی، تنها باید تخصیص رنگ ها را به رئوس در $\phi(V_\Delta)$ گسترش دهیم. ما رنگ هارا اختصاص می دهیم و سعی می کنیم ویژگی های زیر را حفظ کنیم:

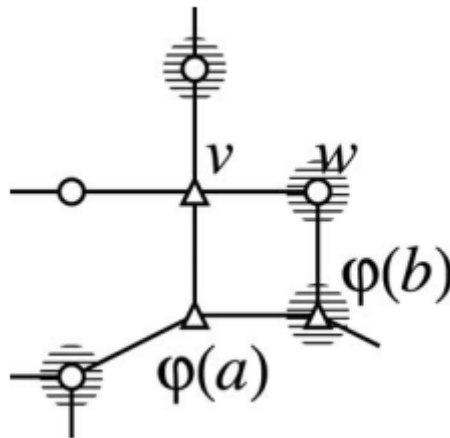
- $P1$. گراف القایی توسط $\phi(V_0 \cup V_\Delta)$ هیچ تک رنگ P_3 مجاور با رأسی رنگامیزی نشده از $\phi(V_\Delta)$ را شامل نیست.

- $P2$. گراف القایی توسط $\phi(V_0 \cup V_\Delta)$ هیچ تک رنگ P_2 (مسیری که از دو رأس میگذرد) مجاور با دو رأس رنگامیزی نشده از $\phi(V_\Delta)$ را شامل نیست.

پس از گام های ۱ و ۲، $P1$ یک نتیجه از گزاره ۱۴ است. فرض کنید $P2$ برقرار نباشد. فرض کنید a, b از تک رنگ P_2 با دو رأس از $\phi(V_\Delta)$ مجاور باشند. یال ab در E_0 نیست، پس با اعمال گزاره ۱۰، می دانیم که a و b از درجه ۲ و ۳ هستند، فرض کنیم b از درجه ۲ است. اگر b مجاور با یک رأس در $\phi(V_\Delta)$ باشد، آنگاه a تنها همسایه رنگ آمیزی شده است، و بنابر مشاهده ۱۳، متفاوت رنگامیزی شده است، یک تناقض. اگر a با دو رأس از $\phi(V_\Delta)$

مجاور باشد، آنگاه b تنها همسایه رنگ‌آمیزی شده از a است، و مشاهده ۱۳ دوباره به تناقض ما را می‌رساند.

ما از این استراتژی‌های زیر برای رنگ‌آمیزی ۳ - رأس رنگ نشده از $\phi(V_\Delta)$ استفاده می‌کنیم. همچنین نشان می‌دهیم که برای هر استراتژی، رنگ‌آمیزی همچنان با یک ۳ - استار ۲ - افراز مطابقت دارد و ویژگی‌های $P1$ و $P2$ را برآورده می‌کند (توجه داشته باشید که رنگ‌آمیزی ۴ - رأس را تا انتها کار رها می‌کنیم).



شکل ۱۰. جاسازی جزئی خاص از $C12$.

- اگر $v \in \phi(V_\Delta)$ دو همسایه رنگ‌آمیزی نشده داشته باشد، به v رنگی مخالف با سومین همسایه اش اختصاص می‌دهیم.

در این مورد، واضح است که هنوز یک ۳ - استار ۲ - افراز داریم و آنکه $P1$ و $P2$ هنوز صادق هستند.

- اگر $v \in \phi(V_\Delta)$ دو همسایه از رنگ‌آمیزی یکسان را دارا است، به v رنگی مخالف را اختصاص می‌دهیم.

از آنجایی که v یک ۳ - رأس است، حداکثر یک همسایه از رنگ‌آمیزی یکسان را داراست، از اینرو، یک مثلث تک‌رنگ تشکیل نمی‌شود. از ویژگی $P1$ می‌توانیم به سادگی نتیجه بگیریم که با رنگ‌آمیزی v ، مولفه‌ای با مرتبه بیشتر از ۳ تشکیل نمی‌شود. فرض کنید که تک‌رنگ $P3$ تشکیل داده شد، آنگاه بنابر ویژگی $P2$ ، در مجاورت یک رأس رنگ‌آمیزی نشده از $\phi(V_\Delta)$ نیست و $P1$ و $P2$ بی‌اهمیت برقرار هستند. اگر فقط یک $P2$ تک‌رنگ تشکیل شود، بنابر گزاره ۱۲، $P2$ برقرار است و $P1$ بی‌اهمیت برقرار است.

- اگر $u, v \in \phi(V_\Delta)$ دو رأس مجاور رنگ‌آمیزی نشده باشند که هر دو در مجاورت با یک رأس از هر رنگ هستند، آنگاه یال uv را بدرستی رنگ‌آمیزی می‌کنیم.

در اینجا دوباره، $P1$ برای نتیجه‌گیری آنکه رنگ‌آمیزی بدست آمده، مطابق با ۳ - استار ۲ - افراز است، کفایت می‌کند. ویژگی $P2$ نتیجه می‌دهد که $P1$ همچنان برقرار است، و گزاره ۱۲ نتیجه می‌دهد که $P2$ همچنان برقرار است.

اکنون نیاز به رسیدگی به باقی ۴ - رأس v در $\phi(V_\Delta)$ برای پیکربندی $C10$ ، $C11$ و $C12$ داریم. توجه داشته باشید که در $C12$ ، باید اولین استراتژی را روی a پیش از رنگ‌آمیزی رئوس دیگر اعمال کنیم، پس ۴ - رأس بدون رنگ‌آمیزی در انتهای کار باقی می‌ماند. اگر v حداقل سه همسایه از رنگ‌آمیزی یکسان داشته باشد، از رنگ‌آمیزی مخالف برای v استفاده کنید. با توجه به خصوصیت $P1$ ، رنگ‌آمیزی بدست آمده تطابق با یک ۳ - استار ۲ - افراز از گراف دارد.

اکنون فرض کنید v دو همسایه از هر رنگ دارد. در بین آنها، سه تای ۲ رأس هستند و دو تای آنها لزوماً یک رنگ دارند، مثلاً ۰. اگر دومین همسایه از هر کدام از این دو رأس از رنگ ۱ باشد، آنگاه برای v رنگ ۰ را انتخاب می‌کنیم، و یک تک‌رنگ $P3$ تشکیل می‌دهیم و این ۳ - استار ۲ - افراز را گسترش می‌دهد. در تنها موقعیتی که این رویه درست نیست در $C12$ است، زمانی که یکی از آنها، مثلاً w ، هر دو همسایه خود را در $\phi(V_\Delta)$ دارد؛ در غیر این صورت، مشاهده ۱۳ اعمال می‌شود. دومین همسایه لزوماً $\phi(b)$ است.

فرض کنید در این موقعیت هستیم، که در شکل ۱۰ به نمایش درآمده است. می‌دانیم که w نسبت به $\phi(b)$ و دیگر همسایه‌های از درجه ۲ v هم‌رنگ است. همچنین، $\phi(a)$ با رنگ‌های w و $\phi(b)$ متفاوت است. با استراتژی اعمال شده، $\phi(a)$ رنگی متفاوت از تنها همسایه خود که در $\phi(V_\Delta)$ نبود، دریافت کرد. بنابراین، ما می‌توانیم برای v همان رنگی که $\phi(a)$ دارد را انتخاب کنیم. این چیزی بیش از یک $P3$ تک‌رنگ تشکیل نمی‌دهد، و ۳ - استار ۲ - افراز را به G توسعه می‌دهد. در نهایت در هر موقعیت ثابت کردیم که G یک مثال متضاد نیست و به یک تناقض رسیدیم. این اثبات را به پایان می‌رساند. ■

- [1] D. Achlioptas, The complexity of g -free colourability, *Discrete Math* 165–166 (1997), 21–30.
- [2] O. V. Borodin and A. O. Ivanova, Near proper 2-coloring the vertices of sparse graphs, *Discrete Anal Oper Res* 16(2) (2009), 16–20.
- [3] O. V. Borodin and A. O. Ivanova, List strong linear 2-arboricity of sparse graphs, *J Graph Theory* 67(2) (2011), 83–90.
- [4] D. G. Corneil, Y. Perl, and L. Stewart, A linear recognition algorithm for cographs, *SIAM J Comput* 14 (1985), 926–934.
- [5] J. Gimbel and J. Nešetřil, Partitions of graphs into cographs, *Discrete Math* 310 (2010), 3437–3445.
- [6] F. Havet and J.-S. Sereni, Improper choosability of graphs and maximum average degree, *J Graph Theory* 52 (2006), 181–199.
- [7] T. R. Jensen and B. Toft, Choosability versus chromaticity, *Geombinatorics* 5 (1995), 45–64.
- [8] L. Lovasz, Coverings and colorings of hypergraphs, *Proceedings of the Fourth South-Eastern Conference on Combinatorics, Graph theory, and Computing*, Boca Raton, FL, 1973, pp. 3–12.
- [9] J. Stacho, On p_4 -transversals of chordal graphs, *Discrete Math* 308 (2008), 5548–5554.